

# МЕХАНІКА

---

УДК 539.385

О.П.Піддубняк

## КРУЧЕННЯ ПРУЖНОГО ШАРУ, ПОСЛАБЛЕННОГО КРУГОВОЮ ЩІЛИНОЮ<sup>x</sup>

1. Розглядається осесиметрична контактна задача теорії пружності для шару, що займає область  $-h_2 \leq z \leq h_1$ , містить у площині  $\xi = 0$  внутрішню (радіусом  $2 \leq a_0$ ) або зовнішню (радіусом  $2 \geq a_0$ ) плоску щілину і піддається крученню двома співвоиними з щілиною площинами штампами по ділянках  $0 \leq z \leq a_1$ ,  $z = h_1$  та  $0 \leq z \leq a_2$ ,  $z = -h_2$  за умови короткого зчеплення штампів з пружним тілом. Поверхні шару поза штампами і щілина вільні від навантажень. Підобласті  $0 \leq z \leq h_1$  і  $-h_2 \leq z \leq 0$  заповнені ізотропними матеріалами з модулями зовні  $\mu_1$  і  $\mu_2$ .

Задача зводиться до знаходження зміщень  $u_i(z, \xi) = u(z, \xi)$ , що задовільняють диференціальне рівняння

$$\frac{\partial^2 u}{\partial z^2} + \frac{1}{2} \frac{\partial u}{\partial z} - \frac{u}{z^2} + \frac{\partial^2 u}{\partial \xi^2} = 0, \quad u = \begin{cases} u_1 & z > 0 \\ u_2 & z < 0 \end{cases} \quad (1.1)$$

у відповідних областях при таких граничних умовах

$$u_i(2, \xi_i) = \varepsilon_i z, \quad 0 \leq z < a_i, \quad \dot{u}_{\xi z}^{(i)}(2, \xi_i) = 0, \quad z > a_i \quad (1.2)$$

$$\dot{u}_{\xi z}^{(i)}(z, 0) = 0 \quad \begin{cases} 0 \leq z < a_0 & - \text{задача 1} \\ z > a_0 & - \text{задача 2} \end{cases} \quad (1.3)$$

$$\left( \lim_{z \rightarrow \infty} u_i(z, \xi) = 0, \quad \xi_i = (-1)^{i+1} h_i, \quad i = 1, 2 \right)$$

---

<sup>x</sup> Робота виконана під керівництвом проф. Д.В.Гриліцького.

I умовах спряження

$$\left. \begin{array}{l} \tilde{\tau}_{\theta z}^{(1)}(z, 0) = \tilde{\tau}_{\theta z}^{(2)}(z, 0) \\ u_i(z, 0) = u_e(z, 0) \end{array} \right\} \quad \begin{array}{l} (z > a_0, \text{ задача I}) \text{ або} \\ (0 \leq z \leq a_0, \text{ задача II}) \end{array} \quad (1.4)$$

де  $\varepsilon_1$  і  $\varepsilon_2$  - кути закручування штампів (задача I - випадок внутрішньої щілини, задача II - випадок зовнішньої щілини).

2. Використовуючи метод роботи [4], задачі I і II зводяться до регулярної системи інтегральних рівнянь Фредгольма другого роду, розв'язок якої шукається методом послідовників наближень.

Контактні напруження під штампами визначаються за формулою

$$\tilde{\tau}_{\theta z}^{(i)}(z, z_i) = \frac{4\mu_c p_i}{\pi \sqrt{1-p_i^2}} \sum_{j=1}^2 (-1)^{i+j} \varepsilon_j \left[ \tilde{\phi}_{ij}^{(1)} - (1-2p_i^2)\tilde{\phi}_{ij}^{(2)} - \frac{1}{3}(1+4p_i^2-8p_i^4)\tilde{\phi}_{ij}^{(3)} \right],$$

$$(p_i = \frac{z}{a_i}, 0 \leq z < a_i, i=1,2), \quad (2.1)$$

а коефіцієнт інтенсивності дотичних напружень  $\tilde{\tau}_{\theta z}$  у вершині щілини має вигляд [6]

$$K_I = \lim_{z \rightarrow a_0} \left[ \sqrt{2\pi S} \tilde{\tau}_{\theta z}(z, 0) \right] = 4\mu_c \beta_2 \sqrt{\frac{a_0}{\pi}} \sum_{n=1}^3 \sum_{i=1}^2 (-1)^{i+1} \varepsilon_i \tilde{\phi}_{0i}^{(n)}. \quad (2.2)$$

При цьому кути повороту штампів  $\varepsilon_1$ ,  $\varepsilon_2$  зв'язані з моментами кручення  $M_1$ ,  $M_2$  співвідношенням

$$M_i = 16a_i^3 \mu_i \sum_{n=1}^3 \sum_{j=1}^2 (-1)^{i+j} \frac{\tilde{\phi}_{ij}^{(n)} \varepsilon_j}{2n+1} \quad (i=1,2). \quad (2.3)$$

У формулах (2.1) - (2.3) позначено:

для задачі I

$$S = z - a_0, \quad (2.4)$$

$$\tilde{\phi}_{ij}^{(1)} = \delta_{ij} + \frac{1}{3} F_{ij}^{(2)} \delta_j^3 - \frac{1}{30} F_{ij}^{(4)} \delta_j^5 + \frac{1}{840} F_{ij}^{(6)} \delta_j^7 - \frac{4}{135} \beta_j F_{0i}^{(3)} F_{0j}^{(3)} \delta_o^5 \delta_j^3 +$$

$$+ \sum_{n=1}^2 \left\{ \frac{1}{9} F_{in}^{(2)} F_{nj}^{(2)} \delta_n^3 \delta_j^3 - \frac{1}{90} [F_{in}^{(2)} F_{nj}^{(4)} (\delta_n^5 \delta_j^3 + \delta_n^3 \delta_j^5) + F_{in}^{(4)} F_{nj}^{(2)} \delta_n^5 \delta_j^3] \right\},$$

$$\begin{aligned}
\bar{\mathcal{D}}_{ij}^{(2)} &= -\frac{1}{18} \delta_i^2 \delta_j^3 (F_{ij}^{(4)} - Q_1 F_{ij}^{(5)} \delta_j^2 + \frac{1}{3} \sum_{n=1}^2 F_{in}^{(6)} F_{nj}^{(12)} \delta_n^3), \quad \bar{\mathcal{D}}_{ij}^{(3)} = \frac{1}{360} F_{ij}^{(10)} \delta_i^4 \delta_j^3, \\
\bar{\mathcal{D}}_{oj}^{(4)} &= \frac{2}{9} \delta_o \delta_j^3 (F_{oj}^{(3)} - Q_1 F_{oj}^{(5)} \delta_j^2 + \frac{1}{420} F_{oj}^{(7)} \delta_j^4 + \frac{1}{9} \sum_{n=1}^2 F_{on}^{(11)} F_{nj}^{(12)} \delta_n^3), \\
\bar{\mathcal{D}}_{oj}^{(5)} &= -\frac{1}{45} \delta_o^3 \delta_j^3 (F_{oj}^{(5)} - Q_1 F_{oj}^{(7)} \delta_j^2), \quad \bar{\mathcal{D}}_{oj}^{(6)} = \frac{1}{1260} F_{oj}^{(11)} \delta_o^5 \delta_j^3, \\
F_{ii}^{(p)} &= 2[\beta_1 J_p(d) + \beta_2 J_p(-d) - J_p(1)], \quad F_{ii}^{(p)} = 2[J_p(d_i) - J_p(-d_i)] \quad (i \neq j), \\
F_{ii}^{(p)} &= (-1)^c 2\{\beta J_p[(-1)^c d] - J_p(1)\}, \quad F_{ij}^{(p)} = 4\beta J_p(0) \quad (i \neq j),
\end{aligned} \tag{2.4}$$

$$J_p(x) = \sum_{n=0}^{\infty} \sum_{m=0}^n (-\beta)^m C_n^m \psi[n+1, p+1, \frac{1}{2}(1+x) + (n-m)d_i + md_o] \frac{1}{n!}$$

$$\psi(N, q, p) = \frac{q!}{2^{q+1}} \sum_{n=0}^{\infty} C_{n,N} (n+p)^{-q}, \quad C_{q,N} = 1, \quad C_{m,N} = \frac{1}{m} \sum_{k=1}^m [k(N+1)-m] C_{m-k,N}$$

$$(m \geq 1), \quad \beta_i = \frac{\mu_i}{\mu_1 + \mu_2}, \quad \beta = \beta_1 - \beta_2, \quad d_i = \frac{h_i}{H}, \quad \delta_n = \frac{a_n}{H} \quad (n=1,2), \quad H = h_1 + h_2,$$

$$d = d_1 - d_2, \quad C_n^m = \frac{n!}{m!(n-m)!}, \quad \delta_{ij} = \begin{cases} 1 & i=j \\ 0 & i \neq j \end{cases}, \quad i, j = 1, 2;$$

для задачи II

$$s = a_0 - 2,$$

$$\begin{aligned}
\bar{\mathcal{D}}_{ij}^{(1)} &= \delta_{ij} \left\{ 1 - \frac{\zeta(3)}{3\pi} \lambda_j^3 + \frac{\zeta(5)}{10\pi} \lambda_j^5 + \left[ \frac{\zeta(3)}{3\pi} \right]^2 \lambda_j^6 - \frac{3\zeta(7)}{112\pi} \lambda_j^7 \right\} + \beta_{ij} \left[ \frac{\zeta(3,\frac{1}{2})}{3\pi} \right]^2 \lambda_{06}^3 \lambda_j^3, \\
\bar{\mathcal{D}}_{ij}^{(2)} &= \delta_{ij} \left[ \frac{\zeta(5)}{6\pi} \lambda_j^5 - \frac{\zeta(7)}{8\pi} \lambda_j^7 \right], \quad \bar{\mathcal{D}}_{ij}^{(3)} = \delta_{ij} \frac{\zeta(7)}{16\pi} \lambda_j^7, \\
\bar{\mathcal{D}}_{oj}^{(1)} &= \frac{\zeta(3,\frac{1}{2})}{3\pi} \lambda_d^3 - \frac{\zeta(5,\frac{1}{2})}{10\pi} \lambda_d^5 - \frac{\zeta(3)\zeta(3,\frac{1}{2})}{9\pi^2} \left[ \lambda_d^6 + \sum_{n=1}^2 (1-\beta_n) \lambda_d^3 \lambda_{on}^3 \right] + \frac{3\zeta(7,\frac{1}{2})}{112\pi} \lambda_d^7, \\
\bar{\mathcal{D}}_{oj}^{(2)} &= -\frac{\zeta(5,\frac{1}{2})}{6\pi} \lambda_d^5 + \frac{\zeta(7,\frac{1}{2})}{8\pi} \lambda_d^7, \quad \bar{\mathcal{D}}_{oj}^{(3)} = \frac{\zeta(7,\frac{1}{2})}{16\pi} \lambda_d^7,
\end{aligned} \tag{2.5}$$

$$\beta_{ij} = \frac{a_i}{h_j}, \quad \beta_{ij} = \frac{a_o}{h_d}, \quad i, j = 1, 2, \quad \zeta(k, x) = \sum_{n=0}^{\infty} (n+x)^{-k}, \quad \zeta(k, 1) = \Gamma(k).$$

У формулах (2.4) і (2.5) захтувано величинами малості  $\alpha(\delta^0)$  і  $\alpha(\lambda^0)$  де  $\delta = \max_{j=0,1,2} \{\delta_j\}$ ,  $\lambda = \max_{n \in \mathbb{N}} \{\lambda_n, \lambda_{0n}\}$ . Параметри  $\delta_j$  і  $\lambda_n, \lambda_{0n}$  задовільняють умовам

$$\frac{4}{9} [F_{00}^{(4)}]^2 \delta_{00}^{10} + \sum_{i=1}^2 \left\{ \frac{4}{9} [\delta_i^6 + (1-\beta_i)^2] [F_{0i}^{(3)}]^2 \delta_{00}^2 + \sum_{j=1}^2 [F_{ij}^{(2)}]^2 \delta_j^6 \right\} < f \quad (\text{задача I}) \quad (2.6)$$

$$\sum_{i=1}^2 \left\{ 1 + \frac{49}{64} (1-\beta_i)^2 \lambda_i^6 + \left[ \frac{49}{64} + (1-\beta_i)^2 \lambda_{0i}^6 \right] \right\} < \left[ \frac{\pi}{8\sqrt{3}} \right]^2 \quad (\text{задача II}) \quad (2.7)$$

В умовах крикного руйнування фіксована щілина стає рухомо-рівноважною тріщинкою, радіус  $a_0^*$  якої знаходиться з рівняння [3]

$$\sqrt{8a_0^*} \mu_1 \beta_2 \sum_{n=1}^3 \sum_{i=1}^2 (-1)^{i+j} \varepsilon_i \Phi_{0i}^{(n)} + L = 0, \quad (2.8)$$

де  $L$  - стала, залежна від пружних характеристик шару.

За певних значень  $a_0, a_1, a_2, h_1, h_2, \mu_1, \mu_2$  одержуються деякі нові та відомі результати [1, 2, 4, 5]. Задачі значно спрощуються у випадку однорідного пружного шару ( $\beta = 0$ ).

3. Для ілюстрації розв'язку задач наводиться приклад, коли  $h_1 = h_2$ ,  $a_0 = a_1, \mu_1 = \mu_2 = \mu, M_2 = 0$ . Табл. 1 характеризує залежність кутів повороту штампів  $\theta_i = \varepsilon_i / \varepsilon_\infty$  від параметрів  $\lambda_i$  ( $i = 1, 2$ ). Тут  $\varepsilon_\infty = M_1 / (\frac{16}{3} \mu a_1^3)$  - кут, що відповідає задачі кручення однорідного півпростору [7],  $\lambda_1 = \lambda_{01} = \lambda_{02} = 2\delta_0 = 2\delta_1, \lambda_2 = 2\delta_2$ . В табл. 2 подано значення коефіцієнтів інтенсивності дотичних напружень у площині

$$\text{щілини } K_0 = (\sqrt{\pi}/4\mu\sqrt{a_0})(K_{\text{III}}/\varepsilon_\infty) \quad \text{та під штампами } K_i = (\sqrt{\pi}/4\mu\sqrt{a_i}) \cdot \\ \cdot \sum_{n=1}^3 \sum_{j=1}^2 (-1)^{i+j} \theta_j \Phi_{ij}^{(n)} \quad (i = 1, 2) \quad \text{залежно від параметрів } \lambda_1 \\ \text{і } \lambda_2.$$

Таблиця 1

Значення кутів повороту штампів  
залежно від параметрів  $\lambda_1$

$\lambda_1$	$\lambda_2$	Задача I		Задача II	
		$\theta_1$	$\theta_2$	$\theta_1$	$\theta_2$
0,1	0,1	1,0000	0,0000	1,0001	0,0000
0,1	0	1,0000	-	1,0001	-
0,2	0,2	1,0000	0,0003	1,0001	0,0012
0,2	0	1,0000	-	1,0001	-
0,4	0,4	1,0001	0,0032	1,0037	0,0121
0,4	0	1,0001	-	1,0036	-
0,8	0,8	1,0006	0,0238	0,9314	0,1097
0,8	0	1,0034	-	0,9193	-

Таблиця 2

Значення коефіцієнтів інтенсивності напружень  
залежно від параметрів  $\lambda_1$

$\lambda_1$	$\lambda_2$	Задача I			Задача II		
		$K_0$	$K_1$	$K_2$	$K_0$	$K_1$	$K_2$
0,1	0,1	0,0000	1,0000	0,0000	0,0005	1,0000	0,0000
0,1	0	0,0000	1,0000	-	0,0005	1,0000	-
0,2	0,2	0,0005	1,0000	0,0001	0,0035	1,0000	0,0011
0,2	0	0,0005	1,0000	-	0,0035	1,0000	-
0,4	0,4	0,0047	0,9995	0,0004	0,0334	1,0004	0,0071
0,4	0	0,0055	0,9995	-	0,0338	1,0004	-
0,8	0,8	0,3726	0,9976	0,0002	0,9711	1,0080	0,0011
0,8	0	0,3876	1,0000	-	1,2911	1,0087	-

## Література

- Гриліцький Д. В. Кручение двоярового пружного середовища. - "Прикладна механіка", 1961, т. 7, вип. I.
- Проценко В. С. Кручение упругого полупространства, осадженого плоскої круглої цілью. - "Ізвестия АН ССРР, МТТ", 1969, № 6.
- Салганик Р. Л. Об осесиметричных трезинах продольного сдвига. - ПМТФ, 1962, № 3.

4. У ф д и д Я. С. Интегральные преобразования в задачах теории упругости. Л., "Наука", 1967.
5. У ф д и д Я. С. Кручение упругого слоя двумя штангами. - ДАН СССР, 1969, т. 186, № 5.
6. Irwin L. R. Fracture. Handbuch der Physik. Bd. 6. Springer-Verlag, Berlin, 1958.
7. Reissner E. Sager H.F. Forced Torsional Oscillations of an Elastic Half-Space, I. J. Appl. Phys. 1944, v 15, N 9.

УДК 539.311

Г.Т.Судим

КОНЦЕНТРАЦІЯ НАПРУЖЕНЬ НА ТОНКОСТІННОМУ ВКЛЮЧЕНИІ  
В КУСКОВО-ОДНОРІДНІЙ ПЛОЩИНІ<sup>х</sup>

1. Розглянемо пружину річковагу двох симетричних ізотропних нів площин з різних матеріалів з тонкостінним пружним включеним довжиною  $2\alpha$  і товщиною  $2h$ , що розміщене на прямій лінії опар матеріалів під дією двох зосереджених сил  $Q_1 = -iq_1$  та  $Q_2 = iq_2$ , прикладених відповідно у точках  $-id$ ,  $id$  (рис.1).

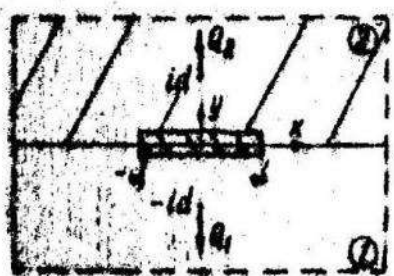


Рис. 1

Завзначимо, що постановка задачі, формули для обчислення характеристик напруженого стану і числовий аналіз за допомогою зображення розв'язку інтегро-диференціального рівняння у вигляді степеневого ряду для випадку однорідного поля напружень на безмежності наведені в [4]. Аналогічна задача у менш загальній постановці розглядається в [5].

Основною цієї задачі в [4] маємо ключове рівняння

$$\int_{-\infty}^x \frac{\psi(t) dt}{t-x} = n\alpha \int_{-\infty}^x \psi(t) dt + \Phi(x) \quad (|x| < 1), \quad (1.1)$$

4. Рядок скількихмінні для визначення напружень на лінії  $y=0$

\* Робота виконана під керівництвом проф. Д.В.Гриціцького.